

АКАДЕМИИ НАУК СССР
ОРДЕНА ЛЕЧИНА ИНСТИТУТ ОФЦЕЛ И НЕОРГАНИЧЕСКОЙ ХИМИИ
им. Н.С. КУРНАКОВА

на правах рукописи

КОРЯГИНА
Татьяна Ивановна

ВЗАИМОДЕЙСТВИЕ В СИСТЕМЕ $\text{Bi}_2\text{O}_3-\text{CaO}-\text{GeO}_2$
(специальность 02.00.04 - физическая химия)

Автореферат диссертации, представленной на соискание ученой степени кандидата химических наук.

Москва - 1978 г.

Работа выполнена в ордена Ленина институте общей и неорганической химии им. Н.С.Курнакова АН СССР и Красноярском орденом Трудового Красного Знамени институте цветных металлов имени М.И.Калинина.

Научный руководитель: кандидат химических наук В.М.Скориков.

Официальные оппоненты: заслуженный деятель науки и техники РСФСР, доктор химических наук, профессор И.Н.Лепешков; кандидат химических наук Л.Н.Демьянец.

Ведущая организация: Научно-исследовательский физико-химический институт им.Л.Я.Карпова, г.Москва.

Автореферат разослан " " 1978 г.

Защита диссертации состоится " " 1978г.
на заседании специализированного Совета К.002.37.01. по присуждению ученой степени кандидата химических наук при ордена Ленина институте общей и неорганической химии им. Н.С.Курнакова АН СССР по адресу: 117071, Москва В-71, Ленинский пр.31.

С диссертацией можно ознакомиться в библиотеке химической литературы АН СССР, Москва, Ленинский пр. 31

Ученый секретарь Совета,
кандидат химических наук

М.Чернов

/К.А.Абдуевская/

Общая характеристика работы.

Актуальность темы. Сложные оксидные соединения висмута с кристаллической структурой силленита (КСС) и эвлитина (КСЭ) являются перспективными пьезо- и сегнетоэлектриками. Эти качества в сочетании с негигроскопичностью, механической прочностью и необычайно большими возможностями изоморфных замещений позволяют использовать КСС и КСЭ в качестве материалов для многофункционального применения.

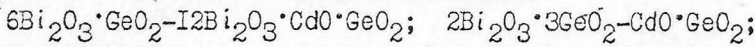
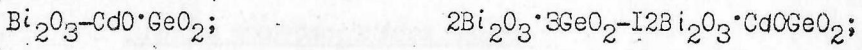
Поиск и изучение новых соединений КСС и КСЭ с наиболее удачным сочетанием необходимых для практики свойств и воспроизводимыми физико-химическими характеристиками возможен на основе систематического исследования фазовых равновесий в соответствующих системах. Широкий по составу изоморфизм в соединениях КСС и КСЭ предполагает существование этих структур в тройных системах с оксидом висмута (III).

Соединения с КСС и КСЭ обнаружены в системах $\text{Bi}_2\text{O}_3\text{-GeO}_2$ и $\text{Bi}_2\text{O}_3\text{-CdO}$, в связи с этим является актуальным исследование фазовых взаимоотношений в системе $\text{Bi}_2\text{O}_3\text{-CdO-GeO}_2$ с точки зрения поиска новых оксидных соединений со структурами силленита и эвлитина, а также твердых растворов на их основе.

Цель работы.

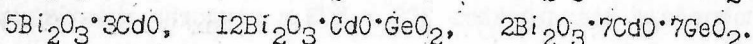
1. Исследование фазовых равновесий в системе $\text{Bi}_2\text{O}_3\text{-CdO-GeO}_2$.
2. Поиск новых соединений со структурами силленита и эвлитина.
3. Получение кристаллов соединений, изучение некоторых их структурных характеристик и физических свойств.

Научная новизна. Впервые исследованы фазовые равновесия в тройной системе $\text{Bi}_2\text{O}_3\text{-CdO-GeO}_2$. Построены диаграммы состояния бинарных систем $\text{Bi}_2\text{O}_3\text{-CdO}$; CdO-GeO_2 , квазибинарных разрезов:



а также построен полтермический разрез $Bi_2O_3 \cdot 2CdO \cdot GeO_2$ и дана проекция поверхности ликвидуса тройной подсистемы $Bi_2O_3 \cdot GeO_2 \cdot CdO \cdot GeO_2$ на треугольник состава.

Впервые обнаружены и синтезированы соединения:



Низкотемпературная форма $5Bi_2O_3 \cdot 3CdO$ и тройное оксидное соединение $12Bi_2O_3 \cdot CdO \cdot GeO_2$ обладают структурой силленита (γ - Bi_2O_3) с пространственной группой $\bar{I}23$.

Показана неограниченная взаимная растворимость изоструктурных соединений $6Bi_2O_3 \cdot GeO_2$ и $12Bi_2O_3 \cdot CdO \cdot GeO_2$. Установлено образование ограниченных твердых растворов Bi_2O_3 , $CdO \cdot GeO_2$, $2Bi_2O_3 \cdot 3GeO_2$ в соединении $12Bi_2O_3 \cdot CdO \cdot GeO_2$ со структурой силленита и CdO , $CdO \cdot GeO_2$, $12Bi_2O_3 \cdot CdO \cdot GeO_2$ в соединении $2Bi_2O_3 \cdot 3GeO_2$ со структурой эвлитина.

Исследованием низкотемпературной формы $5Bi_2O_3 \cdot 3CdO$ и соединения $12Bi_2O_3 \cdot CdO \cdot GeO_2$ показана возможность более широкого по составу изоморфизма в КСС по сравнению с ранее известным. Полученный результат имеет теоретическое значение для кристаллохимической характеристики семейства оксидов с КСС и свидетельствует о том, что они являются индивидуальными фазами, а не стабилизированной примесями γ -формой Bi_2O_3 .

Практическая ценность работы. Полученные данные по фазовым равновесиям в системе $Bi_2O_3 \cdot CdO \cdot GeO_2$ являются физико-химической основой синтеза соединений со структурами силленита и эвлитина, а также твердых растворов на их основе. Соединения

$6\text{Bi}_2\text{O}_3\cdot\text{GeO}_2$, $5\text{Bi}_2\text{O}_3\cdot3\text{CdO}$, $12\text{Bi}_2\text{O}_3\cdot\text{CdO}\cdot\text{GeO}_2$, $2\text{Bi}_2\text{O}_3\cdot3\text{GeO}_2$, легированное CdO , выращены в виде монокристаллов методом Чохральского, остальные получены спонтанной кристаллизацией из расплава. Определены сингония кристаллов, параметры решетки, измерены основные физические свойства. Кристаллы соединения $6\text{Bi}_2\text{O}_3\cdot\text{GeO}_2$ широко применяются в современной технике, кристаллы остальных соединений при соответствующей инженерной разработке могут использоваться в качестве материалов для опто- и ультраакустики, в логических устройствах ЭВМ, в качестве флюоресцентных материалов.

Апробация работы. Основные результаты работы докладывались и обсуждались на I Всесоюзной конференции по синтезу и исследованию термостойких соединений на основе оксидов металлов (г. Киев, 1972 г.) , на Всесоюзном семинаре "Физико-химия сегнетопьезоэлектриков и родственных материалов (г. Москва, 1973 г.) , на I Уральской конференции по высокотемпературной физической химии (г. Свердловск, 1975 г.) , на Всесоюзном совещании по химии твердого тела (Свердловск-Первоуральск, 1975 г.) , на XI Всесоюзном совещании по рентгеновской спектроскопии (г. Ростов-на-Дону, 1975 г.) , на V Всесоюзном совещании по физико-химическому анализу (г. Москва, 1976 г.) , на Ежегодной научной конференции ИОНХ АН СССР (г. Москва, 1975 г.) .

Публикация работы. По материалам диссертации опубликовано девять печатных работ - статей в журналах и тезисов докладов на конференциях.

Объем работы. Работа изложена на 147 листах машинописного текста, иллюстрирована 36 рисунками и 25 таблицами. Диссертация состоит из введения, четырех глав и выводов. Список литературы содержит 154 наименований отечественных и зарубежных авторов.

Основное содержание работы.

В работе приводятся литературные данные о структуре, полиморфизме и физико-химических свойствах оксидов висмута, кадмия, германия. Особое внимание уделено кристаллохимии и свойствам соединений на основе Bi_2O_3 со структурой силленита, эвлитина, перовскита, с оластям их использования, критериям поиска новых фаз с подобной структурой. Приводятся также сведения о двойных и тройных системах, содержащих оксиды висмута и элементов II-UI, III групп периодической системы. Сведения по этим системам в большинстве случаев немногочисленны и ориентировочны. Во многих из них обнаружены соединения со структурой силленита, эвлитина, перовскита. Из бинарных систем, составляющих тройную $\text{Bi}_2\text{O}_3\text{-CdO}\text{-GeO}_2$, наиболее подробно во всем интервале концентраций изучена система $\text{Bi}_2\text{O}_3\text{-GeO}_2$. Система $\text{Bi}_2\text{O}_3\text{-CdO}$ изучена до 15 мол % CdO. В системе CdO-GeO₂ разные авторы приводили различные число и состав существующих в ней фаз. Были неполных и противоречивых данных, исследование тройной системы было начато с изучения диаграмм состояния двух последних бинарных систем.

Источник вещества: оксиды висмута и кадмия марки "ос.ч", оксид германия "полупроводниковой чистоты". Смеси предварительно прокаленных оксидов тщательно перетирали в агатовой ступке. Образцы отжигали в платиновых тиглях при различных температурах в зависимости от состава смеси. Время отжига составляло 12-72 часа. Достижение равновесия контролировалось рентгенофазовым анализом и воспроизводимостью кривых нагревания отожженных образцов. Смеси оксидов взвешивали с точностью $\pm 2 \cdot 10^{-4}$ г. до и после отжига. Потеря массы для образцов, содержащих CdO менее 80 мол %, практически не наблюдалась.

Методы исследования. Изучение фазовых превращений в указанной системе осуществляли методом физико-химического анализа: визуальным полиграфическим, дифференциальным термическим (на пирометре НТР-70), рентгенофазовым (на ДРОН-0,5). Кристаллооптические наблюдения образцов проводили иммерсионным методом. В отдельных случаях состав фаз уточняли с помощью химического и микрорентгеноспектрального (на установке УХА-ЗА) анализов. Микротвердость измеряли на приборе ПМТ-3, плотность определяли методом гидростатического взвешивания, электропроводность и диэлектрическую проницаемость измеряли при помощи моста переменного тока Е8-2 на частоте 1 кГц, магнитную восприимчивость определяли по методу Фарадея на электромагните СП-58.

Экспериментальные данные.

Диаграмма состояния системы $\text{Bi}_2\text{O}_3\text{-CdO}$, рис. I. В интервале концентраций 0–80 мол % CdO образуются соединения с отношением компонентов $\text{Bi}_2\text{O}_3:\text{CdO}$, равным 6:1 и 5:3. Оба соединения претерпевают полиморфные превращения при 635 и 640°C , плавятся инконгруэнтно при температурах 745 и 715°C , соответственно. Низкотемпературная форма первого соединения относится к тетрагональной сингонии, второго – к кубической с объемоцентрированной ячейкой типа силленита. Закалка образцов каждого из соединений от 680°C приводит к появлению модификаций с иной кубической структурой и объемоцентрированной ячейкой.

При содержании CdO до 14 мол % отмечается эвтектоидное превращение при 705°C . В системе предполагается существование еще одной фазы неустановленного состава (x) с полиморфным превращением при 655°C , которая взаимодействует с соединением

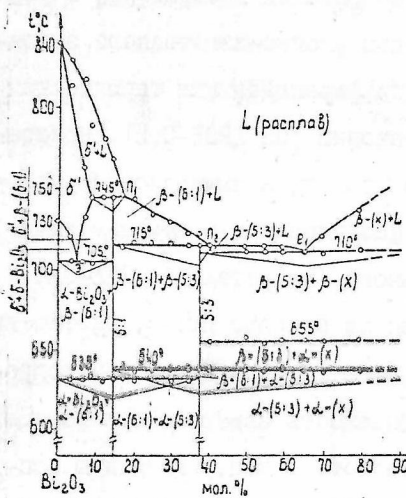


Рис. I Фазовая диаграмма
 $\text{Bi}_2\text{O}_3 - \text{CdO}$

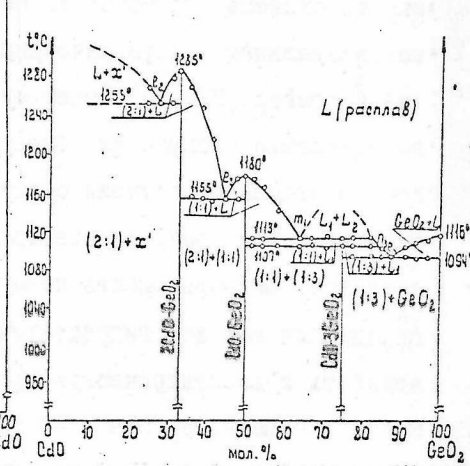


Рис.2 Фазовая диаграмма системы CdO-GeO₂

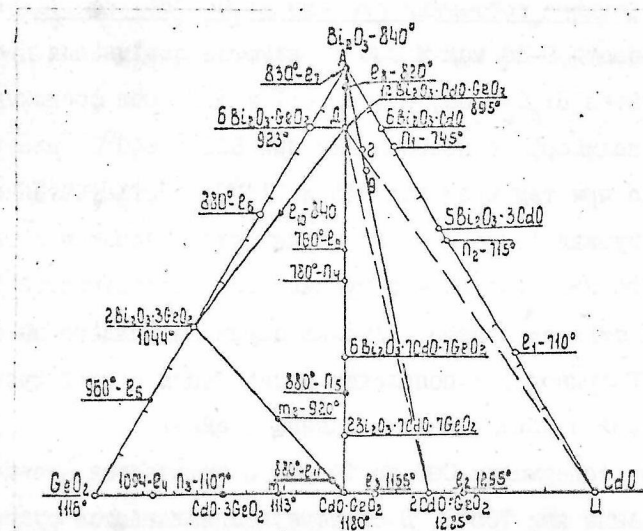


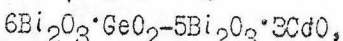
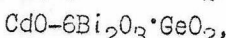
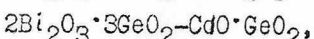
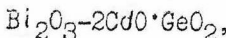
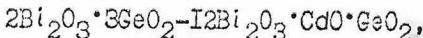
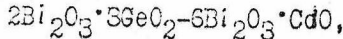
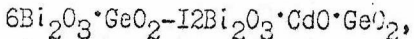
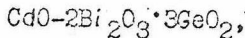
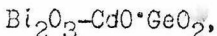
Рис. 3 Концентрационный треугольник системы $\text{Bi}_2\text{O}_3\text{-CdO-GeO}_2$

$5\text{Bi}_2\text{O}_3 \cdot 3\text{CdO}$ по эвтектическому типу при 710°C . Эвтектика содержит 65 мол % CdO.

Диаграмма состояния системы $\text{CdO}-\text{GeO}_2$, рис. 2. В системе об разуются соединения с отношением компонентов $\text{CdO}:\text{GeO}_2$, равным $2:1$, $1:1$, $1:3$. Первые два соединения плавятся конгруэнтно при температурах 1285 и 1180°C , соответственно. Температура инкон- груэнтного плавления третьего соединения составляет 1107°C . Переход в жидкую фазу для образцов в интервале концентраций 64 – 82 мол % GeO_2 происходит с расслаиванием по монотектической реакции при 1113°C . Между ортогерманатом кадмия и оксидом кад- мия обнаружена еще одна фаза (x'), которая образует эвтектику с $2\text{CdO} \cdot \text{GeO}_2$. Эвтектические точки содержат 28 , 46 , 87 мол % GeO_2 . Ортогерманат кадмия кристаллизуется в структурном типе оливина, метагерманат кадмия – в структурном типе волластонита. Структура соединения $\text{CdO} \cdot 3\text{GeO}_2$ характеризуется кубической объемоцент- рированной ячейкой.

Фазовые равновесия в тройной системе $\text{Bi}_2\text{O}_3 - \text{CdO} - \text{GeO}_2$.

Согласно правилам триангуляции Н.С.Курнакова систему разби- ли на несколько простых подсистем, рис.3. Исследованы полите- мические разрезы:



изучен ряд изоконцентрат в интервале 93–84 мол % Bi_2O_3 , а так- же образцы, составы которых отвечали различным фигурациям точкам концентрационного треугольника. Квазибинарными оказа-

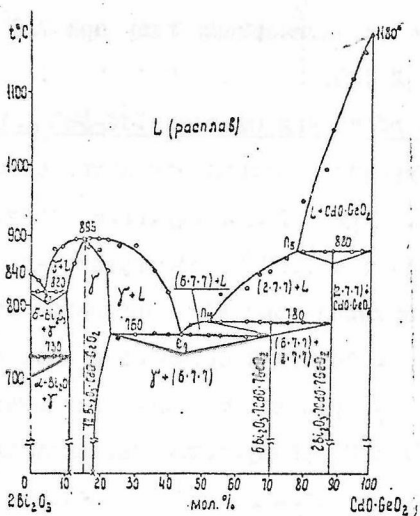
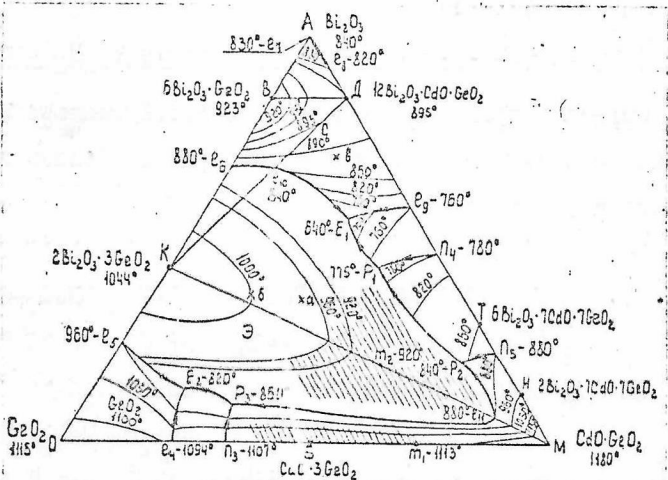


Рис.4 Фазовая диаграмма квазибинарного разреза

$\text{Bi}_2\text{O}_3 - \text{Cd}0.5\text{Ge}0.5\text{O}_2$

Обозначения:

- (○) — по данным ДТА,
- (х) — по данным РФА.



II

лись первые четыре изученных разреза, построены их фазовые диаграммы, построен политермический разрез $\text{Bi}_2\text{O}_3\text{-}\text{CdO}\text{-}\text{GeO}_2$, дана проекция поверхности ликвидуса подсистемы $\text{Bi}_2\text{O}_3\text{-}\text{GeO}_2\text{-}\text{CdO}\text{-}\text{GeO}_2$ на треугольник состава.

В системе установлено существование трех тройных оксидных соединений, которые принадлежат квазибинарному разрезу $\text{Bi}_2\text{O}_3\text{-}\text{CdO}\text{-}\text{GeO}_2$, рис.4. Множитель 2 перед оксидом висмута на оси состава введен для приведения к одному масштабу указанного разреза и тройной системы. Два соединения с отношением оксидов $\text{Bi}_2\text{O}_3\text{:CdO:GeO}_2$, равным 6:7:7 и 2:7:7, плавятся инконгруэнтно при температурах 780 и 880°C, соответственно, структуры относятся к одной из средних сингоний. Температура конгруэнтного плавления третьего соединения $12\text{Bi}_2\text{O}_3\text{-}\text{CdO}\text{-}\text{GeO}_2$ составляет 895°C. При нормальных условиях оно обладает областью гомогенности в пределах II-18 мол % $\text{CdO}\text{-}\text{GeO}_2$, с повышением температуры растворимость исходных компонентов в нем увеличивается. Соединение $12\text{Bi}_2\text{O}_3\text{-}\text{CdO}\text{-}\text{GeO}_2$ имеет структуру силленита, с $\delta\text{-}\text{Bi}_2\text{O}_3$ и $6\text{Bi}_2\text{O}_3\text{-}7\text{CdO}\text{-}7\text{GeO}_2$ образует эвтектику состава 3 и 44 мол % $\text{CdO}\text{-}\text{GeO}_2$, которые плавятся при 820 и 760°C, соответственно. На кривой ликвидуса этому соединению отвечает пологий максимум, что связано, по-видимому, с некоторой диссоциацией его в жидком состоянии.

Изучение квазибинарных разрезов $6\text{Bi}_2\text{O}_3\text{-}\text{GeO}_2\text{-}12\text{Bi}_2\text{O}_3\text{-}\text{CdO}\text{-}\text{GeO}_2$, $2\text{Bi}_2\text{O}_3\text{-}3\text{GeO}_2\text{-}12\text{Bi}_2\text{O}_3\text{-}\text{CdO}\text{-}\text{GeO}_2$ показало, что $12\text{Bi}_2\text{O}_3\text{-}\text{CdO}\text{-}\text{GeO}_2$ образует непрерывный ряд твердых растворов во всем интервале концентраций с соединением того же структурного типа $6\text{Bi}_2\text{O}_3\text{-}\text{GeO}_2$ и эвтектику с соединением $23\text{Bi}_2\text{O}_3\text{-}3\text{GeO}_2$, обладающей структурой эвлитина, рис.3. Эвтектика содержит 44 мол % по-

следнего. При температуре плавления эвтектики, равной 840°C , максимальная взаимная растворимость соединения со структурой эвлитина и тройного оксидного соединения составляет ~8 и ~11 мол %, соответственно.

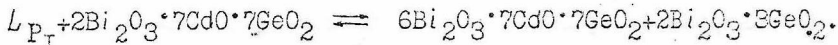
В квазибинарном разрезе $2\text{Bi}_2\text{O}_3 \cdot 3\text{GeO}_2 - \text{CdO} \cdot \text{GeO}_2$ исходные соединения взаимодействуют по эвтектическому типу, эвтектическая смесь плавится при 880°C и содержит 8 мол % $2\text{Bi}_2\text{O}_3 \cdot 3\text{GeO}_2$. В интервале концентраций 12–48 мол % $2\text{Bi}_2\text{O}_3 \cdot 3\text{GeO}_2$ обнаружено расслаивание в жидкой фазе при температуре 920°C . На основе соединения со структурой эвлитина образуется твердый раствор, максимальная растворимость в нем метагерманата кадмия при 880°C составляет 4 мол %.

Особое внимание было уделено вопросу растворимости оксида кадмия в $2\text{Bi}_2\text{O}_3 \cdot 3\text{GeO}_2$. Уточнение границы растворимости проводилось рентгенографическим методом. Исследование зависимости параметра решетки исходной структуры от содержания растворяющегося оксида позволило установить предел растворимости CdO , который при нормальных условиях оказался равным 0,6 мол %.

Анализ фазовых равновесий в подсистеме $\text{Bi}_2\text{O}_3 - \text{GeO}_2 - \text{CdO} \cdot \text{GeO}_2$

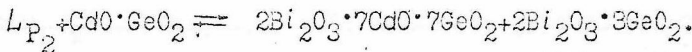
Квазибинарный разрез $\text{Bi}_2\text{O}_3 - \text{CdO} \cdot \text{GeO}_2$, рис.3, делит треугольник состава на две равные части. На рис.5 дана проекция поверхности ликвидуса подсистемы $\text{Bi}_2\text{O}_3 - \text{GeO}_2 - \text{CdO} \cdot \text{GeO}_2$ на концентрационный треугольник. С помощью квазибинарных разрезов подсистему разбили на четыре более простые системы, которые на рис.5 обозначены в виде треугольников АДВ, ВДК, ДЖ, КМО. Наиболее широким полем первичной кристаллизации обладают твердые растворы со структурой эвлитина (поле Э), на рисунке оно ограничено моновариантной кривой $e_1e_{10}\text{E}_1\text{P}_1\text{P}_2e_{11}\text{P}_3e_2e_3$. Поверхность первич-

чной кристаллизации оксида висмута незначительна ввиду того, что эвтектика между Bi_2O_3 и $6\text{Bi}_2\text{O}_3 \cdot \text{GeO}_2$ является вырожденной. При небольших добавках к оксиду висмута метагерманата кадмия и оксида германия образуются изоморфные смеси ($6\text{Bi}_2\text{O}_3 \cdot \text{GeO}_2$ и $12\text{Bi}_2\text{O}_3 \cdot \text{CdO} \cdot \text{GeO}_2$) со структурой симленита, поле С. Это поле ограничено моновариантными кривыми e_6E_I и E_{Ie_9} . Пересечение кривых происходит в тройной эвтектической точке E_I . При температуре точки E_I , равной 640°C , происходит процесс кристаллизации тройной эвтектики ($12\text{Bi}_2\text{O}_3 \cdot \text{CdO} \cdot \text{GeO}_2 + 2\text{Bi}_2\text{O}_3 \cdot 3\text{GeO}_2 + 6\text{Bi}_2\text{O}_3 \cdot 7\text{CdO} \cdot 7\text{GeO}_2$). Кривые P_4P_I и P_5P_2 отвечают трехфазным перитектическим реакциям, по которым образуются, соответственно, соединения $6\text{Bi}_2\text{O}_3 \cdot 7\text{CdO} \cdot 7\text{GeO}_2$ и $2\text{Bi}_2\text{O}_3 \cdot 7\text{CdO} \cdot 7\text{GeO}_2$. При температуре перитектической точки P_I , равной 775°C , происходит четырехфазное перитектическое превращение:



В твердом состоянии сплавы, отвечающие треугольнику КТН, по данным рентгенофазового анализа, состоят из трех фаз ($2\text{Bi}_2\text{O}_3 \cdot 3\text{GeO}_2 + 6\text{Bi}_2\text{O}_3 \cdot 7\text{CdO} \cdot 7\text{GeO}_2 + 2\text{Bi}_2\text{O}_3 \cdot 7\text{CdO} \cdot 7\text{GeO}_2$).

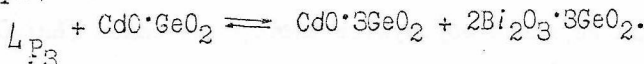
При температуре перитектической точки P_2 , равной 840°C , протекает второе четырехфазное превращение:



В твердом состоянии сплавы треугольника НМК трехфазны и содержат ($2\text{Bi}_2\text{O}_3 \cdot 3\text{GeO}_2 + 2\text{Bi}_2\text{O}_3 \cdot 7\text{CdO} \cdot 7\text{GeO}_2 + \text{CdO} \cdot \text{GeO}_2$).

В треугольнике КМО поле первичной кристаллизации твердого раствора со структурой эвлитина пересекается с полями первичной кристаллизации GeO_2 , $\text{CdO} \cdot 3\text{GeO}_2$ и $\text{CdO} \cdot \text{GeO}_2$ по моновариантным кривым e_3E_2 , E_2P_3 , P_3e_{II} , соответственно. Кривые кристаллизации двойных эвтектик и перитектическая кривая пересекаются

в двух точках E_E и P_3 . При температуре перитектической точки P_3 , равной 860°C , происходит nonvarianтиное перитектическое превращение:



В твердом состоянии сплавы, отвечающие треугольнику КМБ, состоят из трех фаз ($\text{CdO}\cdot\text{GeO}_2 + 2\text{Bi}_2\text{O}_3\cdot3\text{GeO}_2 + \text{CdO}\cdot3\text{GeO}_2$). При температуре точки E_2 , равной 820°C , кристаллизуется тройная эвтектическая смесь ($2\text{Bi}_2\text{O}_3\cdot3\text{GeO}_2 + \text{GeO}_2 + \text{CdO}\cdot3\text{GeO}_2$).

Расплавы, богатые оксидом германия и метагерманатом кадмия, обнаружили склонность к расслаиванию в жидкой фазе. На рис.5 эта область заштрихована.

Характер фазовых превращений в подсистеме $\text{Bi}_2\text{O}_3\text{-CdO-GeO}_2$.

Правая часть тройной диаграммы $\text{Bi}_2\text{O}_3\text{-CdO-GeO}_2$ менее изучена нами, рис.3. В подсистеме $\text{Bi}_2\text{O}_3\text{-CdO-GeO}_2$ новых фаз не обнаружено. Граница поля первичной кристаллизации фазы на основе соединения $12\text{Bi}_2\text{O}_3\cdot\text{CdO}\cdot\text{GeO}_2$ приближается к стороне $\text{Bi}_2\text{O}_3\text{-CdO}$, о чем свидетельствует изучение изоконцентрат в интервале концентраций 98–84 мол % Bi_2O_3 и наличие обширного поля первичной кристаллизации ее на разрезе $\text{Bi}_2\text{O}_3\text{-2CdO-GeO}_2$. По предварительным данным, кристаллизация соединений $6\text{Bi}_2\text{O}_3\cdot\text{CdO}$ и $5\text{Bi}_2\text{O}_3\cdot3\text{CdO}$ заканчивается в треугольнике АИД, а разрезы $12\text{Bi}_2\text{O}_3\cdot\text{CdO-GeO}_2\text{-CdO}$ и $12\text{Bi}_2\text{O}_3\cdot\text{CdO-GeO}_2\text{-2CdO-GeO}_2$ являются квазибинарными, но это требует дополнительных исследований.

Угол диаграммы вблизи оксида кадмия не изучался ввиду интенсивного взаимодействия расплавленных образцов с материалом тигля и высокой упругости пара оксида кадмия при температурах выше 1000°C .

Обсуждение результатов.

Полученные данные для системы $\text{Bi}_2\text{O}_3\text{-CdO}$ согласуются с литературными по числу соединений, наличию эвтектоидного превращения между Bi_2O_3 и ближайшим к нему по составу соединением. Однако, соединения состава $15\text{Bi}_2\text{O}_3\text{-CdO}$ нами не обнаружено. Соединение $6\text{Bi}_2\text{O}_3\text{-CdO}$ в низкотемпературной форме относится к тетрагональной сингонии в отличие от данных других исследователей, рассматривавших его как кубическую фазу со структурой силленита. Структурой силленита ($\gamma\text{-Bi}_2\text{O}_3$) обладает низкотемпературная форма соединения со значительно меньшим содержанием оксида висмута – $5\text{Bi}_2\text{O}_3\text{-3CdO}$. Методом Чохральского это соединение получено в виде монокристаллов, состав уточнен комплексометрическим и микрорентгеноспектральным анализом. Отклонение от стехиометрии составляло $\pm 0,5\%$. Существование соединения $5\text{Bi}_2\text{O}_3\text{-3CdO}$, содержащего Bi_2O_3 62,5 мол %, показывает возможность значительного расширения ряда изоморфных замещений в КСС по сравнению с ранее известным (считалось, что Bi_2O_3 в соединениях с кристаллической структурой силленита содержится до 80 мол %). Таким образом, соединения с КСС являются индивидуальными фазами, а не стабилизированной примесями γ -формой Bi_2O_3 .

Соединение $\text{CdO}\text{-3GeO}_2$ в системе CdO-GeO_2 обнаружено впервые. Данные, полученные нами по составу и структуре мета- и сротогерманатов кадмия согласуются с соответствующими результатами некоторых исследователей, получивших кристаллы указанных соединений гидротермальным способом. Соединение $\text{CdO}\text{-GeO}_2$ (CdGeO_3) удовлетворяет критериям сегнетоэлектрического состояния, однако установлено, что вместо гипотетической структуры первовикита, кристаллы его принадлежат к иному структурному типу

(волластонита).

Изучение фазовых взаимодействий в системе $\text{Bi}_2\text{O}_3\text{-CdO-GeO}_2$ позволило определить условия синтеза соединений и твердых растворов на их основе. Получены кристаллы соединений спонтанной кристаллизацией из расплава, измерены их некоторые свойства. Четыре из них $6\text{Bi}_2\text{O}_3\cdot\text{GeO}_2$, $5\text{Bi}_2\text{O}_3\cdot3\text{CdO}$, $12\text{Bi}_2\text{O}_3\cdot\text{CdO}\cdot\text{GeO}_2$ и $2\text{Bi}_2\text{O}_3\cdot3\text{GeO}_2$, легированное CdO, выращены в виде монокристаллов методом Чохральского. В табл. I,2 приведены измеренные характеристики кристаллов соединений, существующих в системе.

Таблица I.

Физические свойства монокристаллов соединений в системе $\text{Bi}_2\text{O}_3\text{-CdO-GeO}_2$ (по данным Ю.Ф.Каргина).

Состав Физичес- кая величина	$5\text{Bi}_2\text{O}_3\cdot3\text{CdO}$	$5\text{Bi}_2\text{O}_3\cdot3\text{CdO}$ отожжен при 640°C	$6\text{Bi}_2\text{O}_3\cdot\text{GeO}_2$	$2\text{Bi}_2\text{O}_3\cdot3\text{GeO}_2$ легирован. CdO	$12\text{Bi}_2\text{O}_3\cdot\text{CdO}\cdot\text{GeO}_2$
Энергия активации электропроводности, э.в.	I,90	2,00	I,60	I,II	I,50
Диэлектрическая проницаемость, на частоте 1кГц	48	240	40	I6	43
Область пропускания, мк $\lambda = 0,58\text{мк}$	0,55- 8,10	-	0,45- 7,50	0,40- 6,70	0,52- 8,00
Удельное сопротивление, ом·см	10^{12}	10^{10}	10^{12}	10^{14}	10^{12}
Магнитная восприимчивость, см ³ /г	2,44	2,43	2,30	2,50	2,42
Оптическая активность, град/мм, $\lambda=0,65\text{мкм}$.	-		I9,30		I7,80

Из таблиц I и 2 видно, что кристаллы соединений отличаются механической прочностью, термической стойкостью, высоким показателем преломления. Кроме того, они не гигроскопичны,

Таблица 2

17

Характеристика соединений в системе $\text{Bi}_2\text{O}_3\text{-CdO-GeO}_2$

№ п/п стехиометричес- кий состав	Структурно- ный тип	Сингония	Параметр решетки, a	Локалитеты прекомплексов		Характер изоморфной замены, $t/\text{см}^2$	Характер изоморфной замены, $t/\text{см}^2$
				последний предшеств. п.ср.	твёрд. п.ср. Г/см^2		
1. $6\text{Bi}_2\text{O}_3\cdot\text{CdO}^*$	-	кубическая выше 635°C	10,80	2,50	7,26	310	изоморфный 745
	-	тетрагональ ниже 635°C	$a = 4,43$ $c = 5,77$	2,45	8,19	250	-
2. $5\text{Bi}_2\text{O}_3\cdot 3\text{CdO}^*$	-	кубическая выше 640°C	4,24	2,38	9,11	345	изоморфный 715
	(У23)	кубическая ниже 640°C	10,22	2,40	8,50	275	-
3. $\text{CdO}\cdot 3\text{GeO}_2^*$	-	кубическая	11,90	1,79	5,23	405	изоморфный 1107
4. $\text{CdO}\cdot\text{GeO}_2$	волласто- нит	триклиническая	$a = 7,12$ $b = c = 7,95$ $\alpha = 102^\circ$ $\beta = \gamma = 90^\circ$	1,85	5,63	425	изоморфный 1180
5. $2\text{CdO}\cdot\text{GeO}_2$	оливина	ромбическая	$a = 6,57$ $b = 12,12$ $c = 11,12$	1,97	6,11	455	изоморфный 1285
6. $6\text{Bi}_2\text{O}_3\cdot\text{GeO}_2$	сингония (У23)	кубическая	10,14	2,40	9,23	400	изоморфный 923
7. $2\text{Bi}_2\text{O}_3\cdot 3\text{GeO}_2$	эвтектическая (У43d)	кубическая	10,53	2,07	7,12	415	изоморфный 1044
8. $12\text{Bi}_2\text{O}_3\cdot\text{CdO}\cdot\text{GeO}_2^*$	кубическая (У23)	кубическая	10,15	2,40	9,17	385	изоморфный 895
9. $3\text{Bi}_2\text{O}_3\cdot 7\text{CdO}\cdot\text{GeO}_2^*$	средняя	-	-	2,09	6,18	395	изоморфный 780
10. $2\text{Bi}_2\text{O}_3\cdot 7\text{CdO}\cdot\text{GeO}_2^*$	средний	-	-	2,05	5,33	430	изоморфный 830

*- соединение, обнаружение первое.

устойчивы в некоторых агрессивных средах, а соединения со структурой силленита и эвлитина обладают электрооптическими, магнитными, флуоресцентными свойствами. Использование этих соединений в качестве материалов должно расширить круг применений приборов в оптике и электронике. Практически интересными в системе являются не только кристаллы соединений, но и стекла, получающиеся при быстром охлаждении сплавов из оксидов висмута, кадмия, германия. Эти стекла обладают высокими значениями диэлектрической проницаемости (~40), показателей преломления ($n \sim 2,4$), надежно экранируют поток радиоактивного излучения.

Выводы.

1. Исследовано взаимодействие в тройной системе $\text{Bi}_2\text{O}_3\text{-CdO-GeO}_2$.

Построены фазовые диаграммы бинарных систем $\text{Bi}_2\text{O}_3\text{-CdO}$, CdO-GeO_2 , а также построено несколько квазибинарных и политермических разрезов; дана проекция поверхности ликвидуса тройной подсистемы $\text{Bi}_2\text{O}_3\text{-GeO}_2\text{-CdO-GeO}_2$ на треугольник состава.

2. Впервые обнаружены соединения $6\text{Bi}_2\text{O}_3\text{-CdO}$, $5\text{Bi}_2\text{O}_3\text{-3CdO}$, CdO-3GeO_2 , $12\text{Bi}_2\text{O}_3\text{-CdO-GeO}_2$, $6\text{Bi}_2\text{O}_3\text{-7CdO-7GeO}_2$, $2\text{Bi}_2\text{O}_3\text{-7CdO-7GeO}_2$, из них $12\text{Bi}_2\text{O}_3\text{-CdO-GeO}_2$ плавится конгруэнтно при 895°C , остальные имеют инконгруэнтный характер плавления. Соединения $6\text{Bi}_2\text{O}_3\text{-CdO}$ и $5\text{Bi}_2\text{O}_3\text{-3CdO}$ претерпевают полиморфные превращения при 635 и 640°C , соответственно.

3. Определена принадлежность к сингониям кристаллических структур соединений, измерены параметры решеток.

4. Установлена изоструктурность низкотемпературной формы $5\text{Bi}_2\text{O}_3\text{-3CdO}$ и $12\text{Bi}_2\text{O}_3\text{-CdO-GeO}_2$ соединению $6\text{Bi}_2\text{O}_3\text{-GeO}_2$, обладающему решеткой силленита и пространственной группой $I\bar{2}3$.

Последние два соединения неограниченно взаимно растворимы.

5. Существованием низкотемпературной формы $5\text{Bi}_2\text{O}_3 \cdot 3\text{CdO}$ и соединения $12\text{Bi}_2\text{O}_3 \cdot \text{CdO} \cdot \text{GeO}_2$ показана возможность более широкого изоморфизма в структуре силленита по сравнению с ранее известным.

6. Обнаружено образование ограниченных твердых растворов Bi_2O_3 , $\text{CdO} \cdot \text{GeO}_2$, $2\text{Bi}_2\text{O}_3 \cdot 3\text{GeO}_2$ в соединении $12\text{Bi}_2\text{O}_3 \cdot \text{CdO} \cdot \text{GeO}_2$ со структурой силленита и CdO , $\text{CdO} \cdot \text{GeO}_2$, $12\text{Bi}_2\text{O}_3 \cdot \text{CdO} \cdot \text{GeO}_2$ в соединении $2\text{Bi}_2\text{O}_3 \cdot 3\text{GeO}_2$ со структурой эвлитина. Области гомогенности имеют различную протяженность в зависимости от растворяемых оксидов.

7. Соединения $5\text{Bi}_2\text{O}_3 \cdot 3\text{CdO}$, $12\text{Bi}_2\text{O}_3 \cdot \text{CdO} \cdot \text{GeO}_2$, $6\text{Bi}_2\text{O}_3 \cdot \text{GeO}_2$ и $2\text{Bi}_2\text{O}_3 \cdot 3\text{GeO}_2$, легированное CdO , выражены в виде монокристаллов, остальные получены спонтанной кристаллизацией из расплава. Измерены их некоторые магнитные, электрические, оптические свойства, а также плотность и микротвердость.

8. Изученные фазовые взаимоотношения характеризуются наличием превращений в системах:

$\text{Bi}_2\text{O}_3\text{-CdO}$

а/ эвтектоидного при 705°C , связанного с $\alpha \rightarrow \delta$ переходом Bi_2O_3 ;

б/ двух перитектических при 745 и 715°C ;

в/ эвтектического при 710°C , состав эвтектики 65 мол% CdO ; CdO-GeO_2

а/ перитектического при 1107°C ;

б/ трех эвтектических при 1094 , 1155 , 1255°C ; эвтектики содержат соответственно 87, 46, 28 мол% GeO_2 ;

$\text{Bi}_2\text{O}_3\text{-CdO-GeO}_2$

а/ двух эвтектических при 820 и 760°C ; эвтектики содержат 3 и 44 мол% $\text{CdO} \cdot \text{GeO}_2$, соответственно;

б/ двух перитектических при 780 и 880°C ;

$2Bi_2O_3 \cdot 3GeO_2 - 12Bi_2O_3 \cdot CdO \cdot GeO_2$ и $2Bi_2O_3 \cdot 3GeO_2 - CdO \cdot GeO_2$.

а/ эвтектических при 840 и $880^{\circ}C$, соответственно; составы эвтектик 44 и 8 мол % $2Bi_2O_3 \cdot 3GeO_2$;

б/ в последнем разрезе – монотектического при $920^{\circ}C$, область расслаивания отвечает $12-48$ мол % $2Bi_2O_3 \cdot 3GeO_2$.

9. Определены границы полей первичной кристаллизации исходных оксидов, соединений, существующих в тройной системе и твердых растворов со структурой силланита и эвлитина. Найдено пять нонвариантных точек: две точки тройной эвтектики и три – переходных. В тройных сплавах, богатых GeO_2 и $CdO \cdot GeO_2$, обнаружена склонность к расслаиванию в жидкой фазе.

Основное содержание диссертации изложено в работах:

1. В.А.Кутвицкий, А.В.Косов, В.М.Скориков, Т.И.Корягина
"Исследование фазовых взаимодействий в системе GeO_2-CdO ".
Изв. АН СССР, Неорг.материалы, 10, 1822 /1975/.

2. В.А.Кутвицкий, А.В.Косов, В.М.Скориков, Т.И.Корягина
"Система окись висмута – окись кадмия". Изв.АН СССР, Неопр.
материалы, 12, 2190 /1975/.

3. Т.И.Корягина, В.А.Кутвицкий, В.М.Скориков, А.В.Косов,
О.Н.Усталова "Фазовые равновесия в системе $Bi_2O_3-CdO-GeO_2$ ".
Ж.неорг.химии, 3, 773, /1977/.

4. Т.И.Корягина, В.А.Кутвицкий, В.М.Скориков, А.В.Косов,
О.Н.Усталова "Разрез $Bi_2O_3-CdGeO_3$ системы $Bi_2O_3-CdO-GeO_2$ ".
Ж.неорг.химии, 4, 1052 /1977/.

5. В.А.Кутвицкий, А.В.Косов, Т.И.Корягина, В.М.Скориков,
О.Н.Усталова "Физико-химические исследования систем Bi_2O_3-ZnO ,
 Bi_2O_3-CdO , GeO_2-CdO ". Сб."Физика и химия твердого тела",
вып.7 НИФХ им.Л.Я.Карпова, 98, М./1975/.

6. В.М.Скориков, А.В.Косов,,В.А.Кутвицкий, Т.И.Корягина
 "Исследование фазовой диаграммы системы $\text{Bi}_2\text{O}_3\text{-CdO}$ ". I Все-
 союзная конференция по синтезу и исследованию термостойких со-
 единений на основе оксидов металлов. Тезисы доклада, г.Киев
 /1972/.

7. В.М.Скориков, Т.И.Корягина, О.Н.Усталова"Физико-хими-
 ческие исследования кислородосодержащих систем на основе
 Bi_2O_3 ". I Уральская конференция по высокотемпературной физи-
 ческой химии. Тезисы доклада, г.Свердловск /1975/.

8. В.А.Кутвицкий, А.В.Косов, В.М.Скориков, Т.И.Корягина
 "К вопросу о существовании силленит-фазы в тройной системе
 $\text{Bi}_2\text{O}_3\text{-CdO-GeO}_2$ ". Всесоюзное совещание по химии твердого тела.
 Тезисы доклада, Свердловск-Первоуральск /1975/.

9. Т.И.Корягина, Ю.Ф.Каргин, А.В.Косов, В.А.Кутвицкий,
 В.М.Скориков "Исследование соединений со структурой типа
 силленита методами рентгенофазового и рентгеноспектрального
 анализов". XI Всесоюзное совещание по рентгеновской спектро-
 скопии, г.Ростов-на-Дону /1975/.

10.В.М.Скориков, В.А.Кутвицкий, Т.И.Корягина, О.Н.Устало-
 ва,А.В.Косов "Исследование оксидных систем с участием оксида
 висмута термографическим методом". У Всесоюзное совещание по
 физико-химическому анализу. Тезисы доклада, Москва /1976/.